

2J-6

実射影平面の CGによる可視化に関する一考察

鶴野幸子、長江貞彦

近畿大学

1. はじめに

コンピュータ・グラフィクス(CG)の重要な特徴の一つとして、理論上の物体の可視化、が挙げられる。そこで、位相空間における多様体に目を向け、本稿では、向きづけ不能曲面で3次元空間には存在不可能な実射影平面の可視化を試みる。

2. メービウスバンド¹⁾と実射影平面¹⁾

向きづけ不可能な曲面でよく知られるものにメービウスバンドがある。

$$C: \{(x, y, z) \in \mathbb{R}^3; x^2 + y^2 = 1, |z| \leq 1\}$$

M: $\{p, -p\}$ の形の C の点の順序づけられていない対の集合

とおくと、

$$M = \{(-p, p); p \in C\}$$

で、Mに商位相をあたえることができ、こうしてあたえられた位相空間をメービウスバンドという。

また、球面 S^2 の2点 $x, -x$ の順序づけられていない対 $\{x, -x\}$ の全体のなす集合 $\mathbb{R}P^2 = \{\{x, -x\}; x \in S^2\}$ は、全射 $\pi: S^2 \rightarrow \mathbb{R}P^2$ が $x \mapsto \{x, -x\}$ で与えられている。この写像 π に関する商位相をもつ $\mathbb{R}P^2$ を実射影平面という。

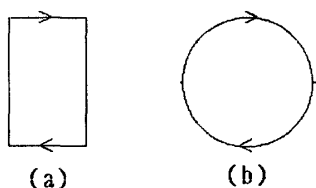


Fig.1 メービウスバンドと実射影平面

すなわち、Fig.1 に示す(a)(b)をそれぞれ矢印の向きにしたがって、面が交差しないように結合させたものがメービウスバンドと実射影平面である。ただし、実射影平面は4次元で可能となる。

3. 実射影平面の形状作成

実射影平面の形状を考えると、まず3次元空間

内で面が交差する擬似射影平面作成する。そして、交差部分を4次元方向(U軸方向)に移動させて、面が交差しないようにする。具体的にはFig.2に示すように(a)に示す実射影平面を(b)に示すように分割して考え、AとA', BとB', CとC'...を(c)に示すように結合してゆくことにより、矢印の向きに従った結合を行う。このとき、結合点Pを(d)に示すように1点に集中させる。次に、点Pを(e)に示すようにZU平面でAとA', BとB'...の結合点のそれぞれが交わらないように円状に配置する。これにより、4次元空間において実射影平面が構成される。

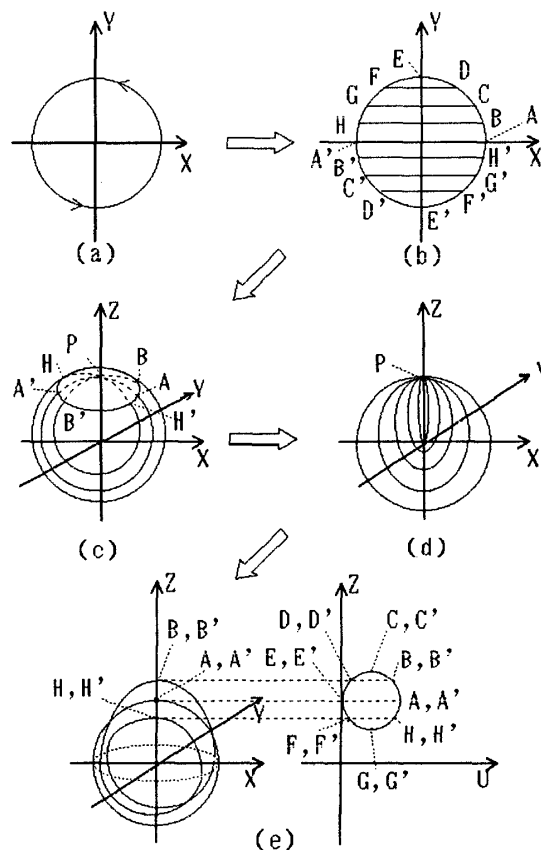


Fig.2 実射影平面の形状構成

4. アフィン変換

実射影平面が4次元であるため、4次元空間におけるアフィン変換が必要である。

x, y, z, u : 直交する4軸

A Consideration of a Real Projective Plane
in relation to a Visualization by C.G.

Sachiko TSURUNO, Sadahiko NAGAE, KINKI UNIVERSITY

dx, dy, dz, du : x, y, z, u 軸方向の平行移動量
 sx, sy, sz, su : x, y, z, u 軸方向の拡大縮小量
 $\theta_1, \theta_2, \theta_3, \theta_4, \theta_5, \theta_6$: XY, YZ, ZX, XU, YU, ZU平面
 における回転角

$Tr_1, Tr_2, Tr_3, Tr_4, Tr_5, Tr_6$: XY, YZ, ZX,
 XU, YU, ZU平面における回転移動の変換行列

Td : 平行移動の変換行列

Ts : 拡大縮小の変換行列

Tr : 回転移動の変換行列

とおくと、 $Tr_1, Tr_2, Tr_3, Tr_4, Tr_5, Tr_6$ は式(1)に、 Td, Ts, Tr はそれぞれ式(2)、(3)、(4)のようになる。

$$Tr_1 = \begin{bmatrix} \cos\theta_1 & -\sin\theta_1 & 0 & 0 & 0 \\ \sin\theta_1 & \cos\theta_1 & 0 & 0 & 0 \\ 0 & 0 & 1 & 0 & 0 \\ 0 & 0 & 0 & 1 & 0 \\ 0 & 0 & 0 & 0 & 1 \end{bmatrix} \quad Tr_2 = \begin{bmatrix} 1 & 0 & 0 & 0 & 0 \\ 0 & \cos\theta_2 & -\sin\theta_2 & 0 & 0 \\ 0 & \sin\theta_2 & \cos\theta_2 & 0 & 0 \\ 0 & 0 & 0 & 1 & 0 \\ 0 & 0 & 0 & 0 & 1 \end{bmatrix}$$

$$Tr_3 = \begin{bmatrix} 1 & 0 & 0 & 0 & 0 \\ 0 & 1 & 0 & 0 & 0 \\ 0 & 0 & \cos\theta_3 & -\sin\theta_3 & 0 \\ 0 & 0 & \sin\theta_3 & \cos\theta_3 & 0 \\ 0 & 0 & 0 & 0 & 1 \end{bmatrix} \quad Tr_4 = \begin{bmatrix} \cos\theta_4 & 0 & 0 & -\sin\theta_4 & 0 \\ 0 & 1 & 0 & 0 & 0 \\ 0 & 0 & 1 & 0 & 0 \\ \sin\theta_4 & 0 & 0 & \cos\theta_4 & 0 \\ 0 & 0 & 0 & 0 & 1 \end{bmatrix}$$

$$Tr_5 = \begin{bmatrix} \cos\theta_5 & -\sin\theta_5 & 0 & 0 & 0 \\ 0 & 1 & 0 & 0 & 0 \\ \sin\theta_5 & 0 & \cos\theta_5 & 0 & 0 \\ 0 & 0 & 0 & 1 & 0 \\ 0 & 0 & 0 & 0 & 1 \end{bmatrix} \quad Tr_6 = \begin{bmatrix} 1 & 0 & 0 & 0 & 0 \\ 0 & \cos\theta_6 & 0 & -\sin\theta_6 & 0 \\ 0 & 0 & 1 & 0 & 0 \\ 0 & \sin\theta_6 & 0 & \cos\theta_6 & 0 \\ 0 & 0 & 0 & 0 & 1 \end{bmatrix}$$

$$Td = \begin{bmatrix} 1 & 0 & 0 & 0 & 0 \\ 0 & 1 & 0 & 0 & 0 \\ 0 & 0 & 1 & 0 & 0 \\ 0 & 0 & 0 & 1 & 0 \\ dx & dy & dz & du & 1 \end{bmatrix} \quad Ts = \begin{bmatrix} sx & 0 & 0 & 0 & 0 \\ 0 & sy & 0 & 0 & 0 \\ 0 & 0 & sz & 0 & 0 \\ 0 & 0 & 0 & su & 0 \\ 0 & 0 & 0 & 0 & 1 \end{bmatrix}$$

$$Tr = Tr_1 \cdot Tr_2 \cdot Tr_3 \cdot Tr_4 \cdot Tr_5 \cdot Tr_6 \quad (4)$$

したがって、アフィン変換のための変換行列をTとおくと式(5)が得られる。

$$T = Td \cdot Tr \cdot Ts \quad (5)$$

5. 表示

表示は4次元の形状を3次元空間に投影して行う。形状はサーフェスでモデルリングしており、両面をフォンシェーディングする。

作図結果として、Fig. 3に実射影平面の全体像を示す。xy, yz, zx, xu, yu, zu平面において、それぞれ0, 25, 25, 0, 0度回転した状態で、(a)には不透明、(b)光の透過率70%の場合である。

次に、実射影平面の性質を表したなかのごく一例を示す。実射影平面はFig. 4に示すようにメービウスバンドと開円板に分けられる。Fig. 5にはFig. 3に示した実射影平面の一部であるメービウスバンドを(a)に、その残りの部分を(b)-1に示している。さらに、(b)-1ではこの図形が開円板と同相であるかが分

かりにくいので、位相を変えないように(b)-1を順に変化させたものが(b)-2, 3である。(b)-3では明らかに開円板と同相であることがわかる。

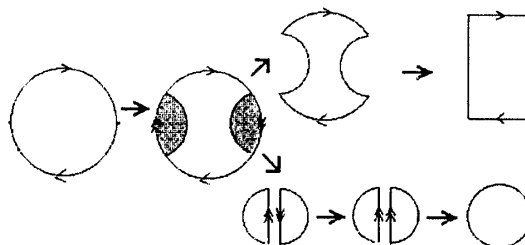
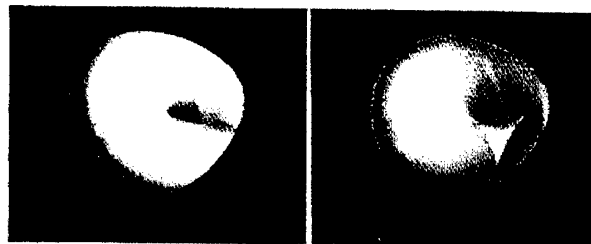


Fig. 4 メービウスバンドと円板

5. おわりに

今回は1つの試みとして、実射影平面を表示した、3次元に投影する方法をとると、表示データは多様体の性質を失う、ということなどいくつかの問題は残されている。しかし、実射影平面の特性を可視化することは可能で、それにより非常に直観的認識を得やすいことは明らかとなった。したがって、表示法の工夫などで、より有効な利用が可能と考える。



(a) (b) Fig. 3 実射影平面の全体像



(a) (b)-1



(b)-2 (b)-3

Fig. 5 実射影平面の部分表示

参考文献

1) 加藤十吉 編訳、ゲー・コズロフ著：トポロジー入門
 東京大学出版会、1983 他